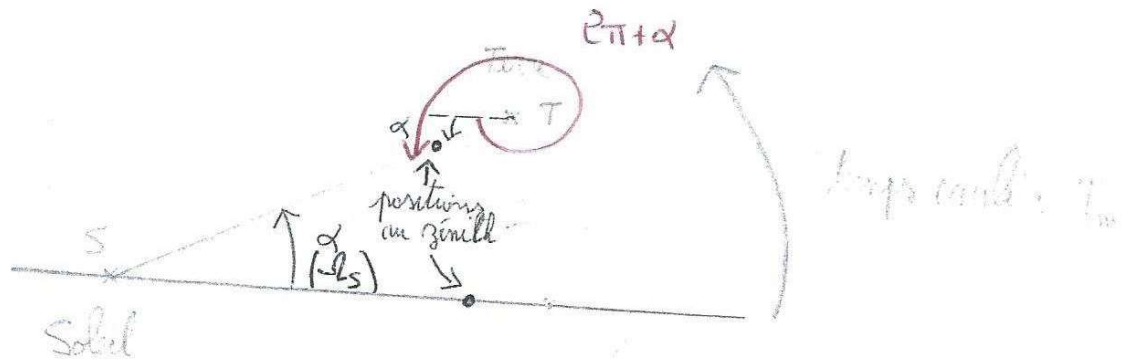


TD n°2

Exercice n°1 : Les différentes périodes des astres

① Le schéma ci-dessous représente les évolutions des angles au bout d'un jour solaire moyen :



Temps écoulé entre 2 positions au zénith : T_m
 angle parcouru : $2\pi + \alpha$

$$\text{donc } 2\pi + \alpha = \omega_s T_m = \frac{2\pi}{T_s} T_m \quad (1)$$

$$\text{or } \alpha = \omega_a T_m = \frac{2\pi}{T_a} T_m$$

$$\text{soit } (1) \Rightarrow 2\pi + \frac{2\pi T_m}{T_a} = \frac{2\pi T_m}{T_s} \Rightarrow \frac{T_m}{T_s} = 1 + \frac{T_m}{T_a}$$

qui permet de déduire $T_s = \frac{T_m}{1 + \frac{T_m}{T_a}}$

On peut alors former la différence demandée soit :

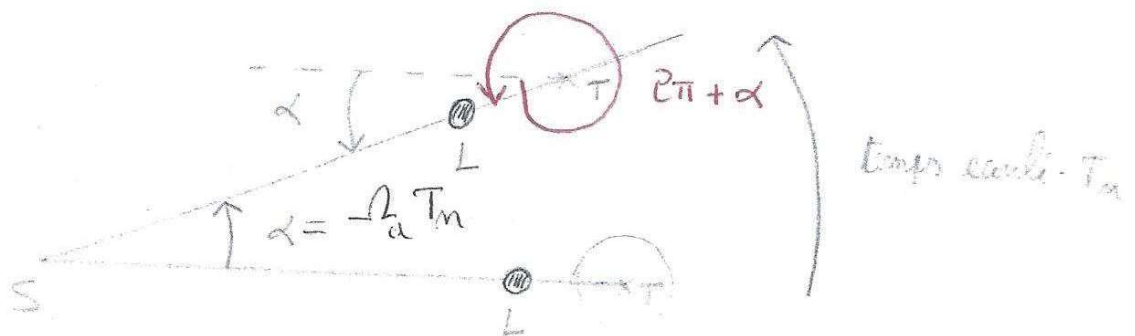
$$T_m - T_s = T_m - \frac{T_m}{1 + \frac{T_m}{T_a}} = \frac{T_m^2}{T_a} \times \frac{1}{\frac{T_a + T_m}{T_a}} \Rightarrow T_m - T_s = \frac{T_m^2}{T_m + T_a}$$

A.N. $(T_m - T_s = 235,904 \text{ d})$

② On reprend ici la même démarche mais dans le cas de l'étude du mot de la Lune;

Nouvelle lune \equiv situation d'alignement exact Soleil-Lune-Terre dans cet ordre i.e la "Lune est" "sombre"

T_m est la durée entre 2 nouvelles Lunes \Rightarrow cf schéma



$$2\pi + \alpha = -\Omega_s T_m \quad \text{or} \quad \alpha = -\Omega_a T_m$$

$$\Rightarrow 2\pi + -\Omega_a T_m = -\Omega_s T_m \Rightarrow 2\pi + 2\pi \frac{T_m}{T_a} = \frac{2\pi}{T_s} T_m \Rightarrow 1 + \frac{T_m}{T_a} = \frac{T_m}{T_s}$$

$$\Rightarrow T_m = \frac{1}{\frac{1}{T_s} - \frac{1}{T_a}} = \frac{T_s T_a}{T_a - T_s}$$

On forme enfin la différence

$$T_m - T_s = \frac{T_s T_a}{T_a - T_s} - T_s = \frac{T_s^2}{T_a - T_s}$$

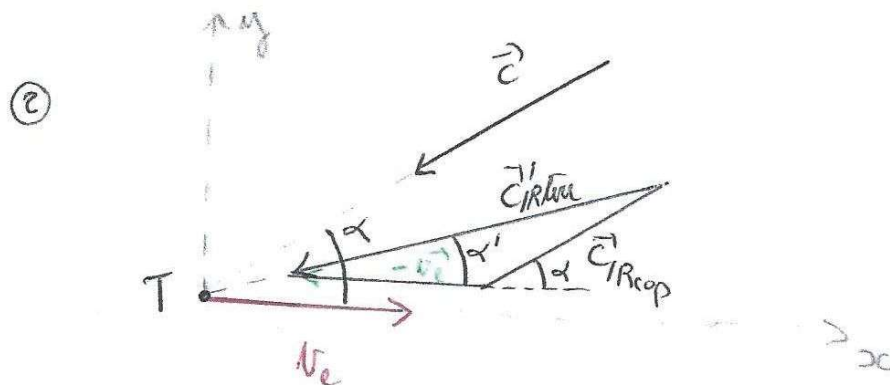
A.N. $T_m - T_s = \frac{27,3^2}{365,25 - 27,3} = 2,205 \text{ j}$

Exercice n°2: Aberration de la lumière provenant des étoiles

① $\vec{v}_a = \vec{v}_T + \vec{v}_e (R_{\text{terre}} / R_{\text{cop}})$

soit si l'on postule la validité pour des vitesses $\sim c$:

$$(e) \Rightarrow \vec{c}_{R_{\text{cop}}} = \vec{c}'_{R_{\text{terre}}} + \vec{v}_e (R_{\text{terre}} / R_{\text{cop}}) \Rightarrow \boxed{\vec{c}'_{R_{\text{terre}}} = \vec{c}_{R_{\text{cop}}} - \vec{v}_e}$$



Par projection sur les axes $[T; x]$ et $[T; y]$ on a:

(e). $\vec{e}_x \Rightarrow c \cos \alpha + v_e = c' \cos \alpha' \quad (L_1)$

(e). $\vec{e}_y \Rightarrow c \sin \alpha = c' \sin \alpha' \quad (L_2)$

$(L_2) / (L_1) \Rightarrow \boxed{\tan \alpha' = \frac{\sin \alpha}{\cos \alpha + \frac{v_e}{c}}}$

③ A.N. $\alpha - \alpha' = \alpha - \arctan \left[\frac{\sin \alpha}{\cos \alpha + \frac{v_e}{c}} \right] = 5,73 \cdot 10^{-3}^\circ$

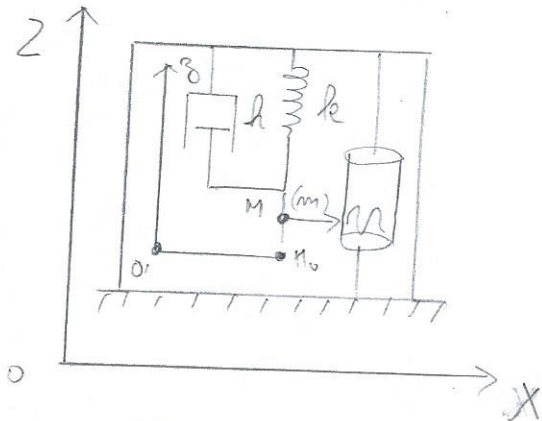
soit en seconde d'angle: $(\alpha - \alpha')_{(//)} = (\alpha - \alpha')_{(o)} \times 3600 = 20,6''$

\Rightarrow écart mesurable

TD n°2:

Référentiel non galiléen

Exercice n°3: Principe d'un sismographe



① Σ masselotte $M(m)$

(R) : réf terrestre

(R') : réf du sol local, non galiléen en translation $\Rightarrow \vec{\omega}_{R'/R} = \vec{0}$

$$\text{donc } \vec{a}_e(R'/R) = \vec{a}(O')_R = \ddot{Z}(t) \vec{e}_3$$

PFS de R' immobile: $\rightarrow \vec{0} = m\vec{g} + k(l_s - l_0) \vec{e}_3$
 $\Rightarrow -mg + k(l_s - l_0) = 0$

PFD de R' mobile: $m \vec{a}(M)_{R'} = \sum_i \vec{F}_i + m\vec{g} - \underbrace{m \vec{a}_e(R'/R)}_{\vec{F}_{re}}$ (autre que poids)

$$m \vec{a}(M)_{R'} = m\vec{g} + k(l_s - z(t) - l_0) \vec{e}_3 - h \dot{z}(t) \vec{e}_3 - m \ddot{Z}(t) \vec{e}_3$$
$$\rightarrow m \ddot{z}(t) = -\cancel{mg} + \cancel{k(l_s - l_0)} + k z(t) - h \dot{z}(t) - m \ddot{Z}(t)$$

d'où $\ddot{z}(t) + \frac{h}{m} \dot{z}(t) + \frac{k}{m} z(t) = -\ddot{Z}(t)$

Posons: $\begin{cases} \omega_0 = \sqrt{\frac{k}{m}} \\ \frac{h}{m} = \frac{\omega_0}{Q} \Rightarrow Q = \frac{\omega_0 m}{h} = \frac{m}{h} \sqrt{\frac{k}{m}} = \frac{1}{h} \sqrt{mk} \end{cases}$

donc: $\ddot{z}(t) + \frac{w_0}{Q} \dot{z}(t) + w_0^2 z(t) = -\ddot{z}^{\text{oo}}(t)$

Dimension de $\frac{Q}{w_0}$: $[\ddot{z}] = L \cdot T^{-2} = \left[\frac{\ddot{z}}{\frac{Q}{w_0}} \right] = \frac{L \cdot T^{-2}}{\left[\frac{Q}{w_0} \right]}$

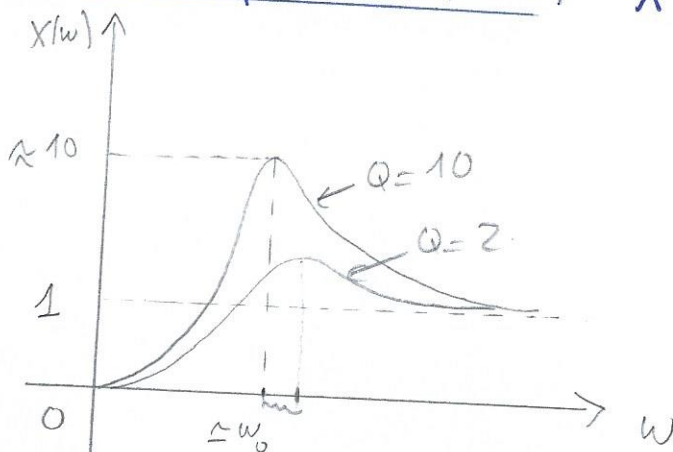
$\Rightarrow \left[\frac{Q}{w_0} \right] = \frac{L \cdot T^{-2}}{L \cdot T^{-2}} = T \Rightarrow$ temps caractéristique d'amortissement du régime libre.

② ① RSF $\Rightarrow z(t) = Z_0 \cos(wt) \rightarrow \underline{z}(t) = Z_0 e^{j\omega t}$
 $z(t) = z_0(w) \cos(\omega t + \varphi) \rightarrow \underline{z}(t) = z_0(w) e^{j(\omega t + \varphi)}$
 (e) $\Rightarrow -w^2 \underline{z} + \frac{w_0}{Q} j\omega \underline{z} + w_0^2 \underline{z} = +w^2 \underline{z}$

$\Rightarrow \underline{z} = \frac{+w^2 \underline{z}}{(w_0^2 - w^2) + j \frac{w w_0}{Q}} \Rightarrow \underline{z} = \frac{w^2}{(w_0^2 - w^2) + j \frac{w w_0}{Q}} \underline{z}$

Soit: $\begin{cases} z_0(w) = \frac{w^2}{[(w_0^2 - w^2)^2 + (\frac{w w_0}{Q})^2]^{1/2}} Z_0 \\ \varphi(w) = -\arg[(w_0^2 - w^2) + j \frac{w w_0}{Q}] = -\arctg \frac{w w_0}{Q(w_0^2 - w^2)} \end{cases}$

Tracé de la réponse en amplitude: $X = \frac{z_0(w)}{Z_0}$ (on adimensionne!)



tracé pour $Q=10$
 $w_0 = 100 \text{ rad.s}^{-1}$
 $f_0 \approx 25 \text{ Hz}$

$\lim_{w \rightarrow \infty} z_0(w) \rightarrow Z_0 \Rightarrow \underline{X} \rightarrow 1$

③ Commentaires: fidélité plus ou moins bonne du sismographe suivant le choix des paramètres k , m , et h .

idée: assurer que $\omega \gg \omega_0$ ie ω_0 faible par rapport à ω et Q faible

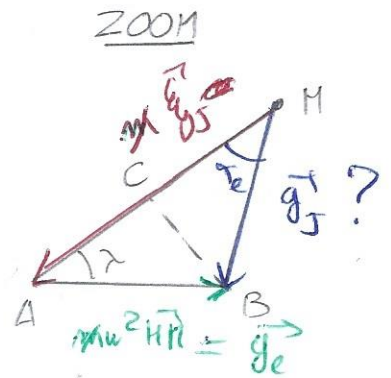
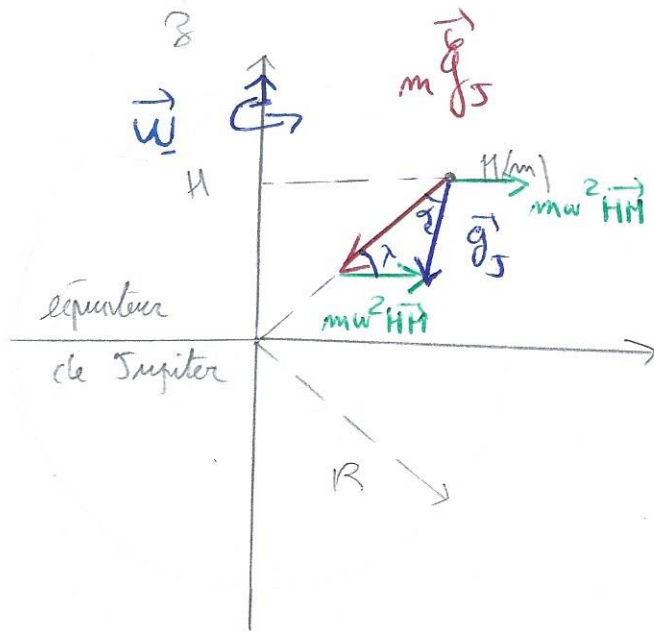
$$\Rightarrow X(\forall \omega \gg \omega_0) \simeq 1 \text{ ie } \Rightarrow \boxed{|B_0(\omega)| \simeq Z_0}$$

le sismographe enregistre exactement les amplitudes du mouvement du sol.

exemple de valeurs numériques:

$$\begin{aligned} m &= 100 \text{ g} \\ k &= 1 \text{ N.m}^{-2} \\ h &= 1 \text{ kg.s}^{-2} \end{aligned} \Rightarrow \begin{cases} \omega_0 = 3,16 \text{ rad.s}^{-2} \Rightarrow f_0 = 0,5 \text{ Hz} \\ Q = 0,316 \end{cases}$$

Exercice n° 5: Pesanteur apparente (Jupiter)



Géométriquement on tire 2 équations :

$$\begin{cases} g_J \cos \alpha_e + g_e \cos \lambda = g_J (1) \\ g_e \sin \lambda = g_J \sin \alpha_e (2) \end{cases}$$

$$(2) \Rightarrow g_s = g_e \frac{\sin \tau}{\sin \alpha_e}$$

$$(1) \Rightarrow g_e \frac{\sin \lambda \cos \alpha_e}{\sin \alpha_e} + g_e \cos \lambda = g_J$$

$$\Rightarrow \cos \lambda + \frac{\sin \lambda \cos \alpha_e}{\sin \alpha_e} = \frac{g_s}{g_e}$$

$$\Rightarrow \tan \alpha_c = \frac{\sin \gamma}{\dots}$$

$$\frac{g_J}{g_e} - \cos \lambda$$

↳ \hat{a} explizit

$$\frac{g_J}{g_E} = \frac{GM_J}{R^2 \omega^2 R \cos \lambda}$$

$$\tan \alpha_e = \frac{\sin \lambda}{\frac{GM_J}{R^2 \omega^2 R \cos \lambda} - \cos \lambda} = \frac{\sin \lambda \cos \lambda}{\frac{GM_J}{R^2 \omega^2 R} - \cos^2 \lambda}$$

Calcul de λ_{\max} pour α_e mesuré

$$\frac{d \tan \alpha_e}{d\lambda} = \frac{(\cos^2 \lambda - \sin^2 \lambda)(A - \cos^2 \lambda) + \sin \lambda \cos \lambda \cdot 2 \cos \lambda \sin \lambda}{D^2} = 0$$

$$\Rightarrow \cos(2\lambda)(A - \cos^2 \lambda) + 2 \sin^2 \lambda \cos^2 \lambda = 0 \quad (e)$$

A résoudre numériquement: $A = \frac{GM_J}{R^3 \omega^2} = \frac{g_J}{R \left(\frac{2\pi}{T_J} \right)^2}$

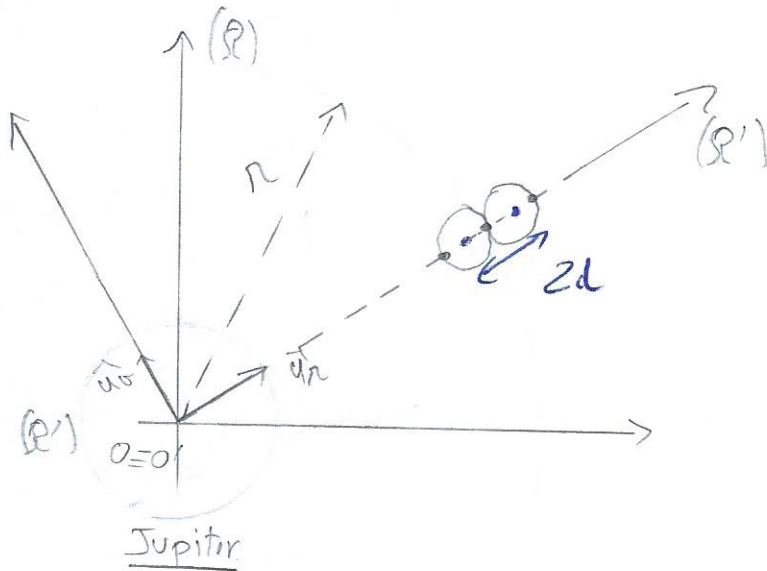
$$= \frac{26,5}{7 \cdot 10^7 \times \left(\frac{2\pi}{(9 \times 3600 + 52 \times 60)} \right)^2}$$
$$= 12,05$$

$$(e) \Rightarrow \lambda_{\max} = 43,76^\circ$$

$$\text{d'où } \tan \alpha_e = \frac{\sin \lambda \cos \lambda}{A - \cos^2 \lambda} = 0,043.$$

$$\text{Soit } \alpha_e = 2,479 \simeq 2,48^\circ$$

Exercice n° 11: Comète SHOEMAKER-LEVY 9



① Δ comète constituée de 2 masses m_1 en C_1
 m_2 en C_2

$$\begin{cases} m \vec{a}(C_2)_{R_J} = -\frac{GM_J m}{(r-d)^2} \vec{u}_r + \vec{F}_{C_2/C_1} \\ m \vec{a}(C_1)_{R_J} = -\frac{GM_J m}{(r+d)^2} \vec{u}_r + \vec{F}_{C_1/C_2} \end{cases}$$

Δ C_1 et C_2 : mot circulaire $\vec{a}(C_i)_{C_2} = -r_{C_1/C_2} \omega^2 \vec{u}_r$

$$\Rightarrow \begin{cases} -m(r-d)\omega^2 \vec{u}_r = -\frac{GM_J m}{(r-d)^2} \vec{u}_r + \vec{F}_{C_2/C_1}(L_2) \\ -m(r+d)\omega^2 \vec{u}_r = -\frac{GM_J m}{(r+d)^2} \vec{u}_r + \vec{F}_{C_1/C_2}(L_2) \end{cases}$$

$$\Rightarrow \left\{ \frac{L_1}{m(r-d)} + \frac{L_2}{m(r+d)} \Rightarrow 2\omega^2 \simeq GM_J \left[\frac{1}{(r-d)^3} + \frac{1}{(r+d)^3} \right] \right.$$

$$d'ici \quad \omega^2 \simeq \frac{GM_J}{2r^3} \left(\frac{1}{(1-\frac{d}{r})^3} + \frac{1}{(1+\frac{d}{r})^3} \right) \simeq \frac{GM_J}{2r^3} \left(1 + \frac{3d}{r} + 1 - \frac{3d}{r} \right)$$

$$\omega^2 \simeq \frac{GM_J}{R^3} \Rightarrow \boxed{\omega = \sqrt{\frac{GM_J}{R^3}}}$$

② $\vec{\omega}_{R'/R} \neq \vec{0} \Rightarrow \text{ref } (R') \text{ non galiléen.}$

$$\vec{a}_e = \vec{\omega}_{R'/R} \wedge (\vec{\omega}_{R'/R} \wedge \vec{OM}) \neq \vec{0}$$

③ Dans R' :

$$\vec{F}_{T/R'} = \vec{F}_{J/\textcircled{1}} + \vec{N}_{2/1} + \vec{F}_{ie}(R'/R) + \vec{F}_{g^2 2/1}$$

$$= -\frac{GM_J m}{(R-d)^2} \vec{u}_R + \vec{N}_{2/1} + m\omega^2 \vec{OM} + \frac{Gm^2}{4d^2} \vec{u}_R$$

$$= -\frac{GM_J m}{R^2 (1 - \frac{d}{R})^2} + \vec{N}_{2/1} + m\omega^2 (R-d) \vec{u}_R + \frac{Gm^2}{4d^2} \vec{u}_R$$

Si sphère ① en équilibre dans R' : $\vec{F}_{T/R'} = \vec{0}$

$$\vec{N}_{2/1} = \frac{GM_J m}{R^2 (1 - \frac{d}{R})^2} \vec{u}_R - m\omega^2 (R-d) \vec{u}_R - \frac{Gm^2}{4d^2} \vec{u}_R$$

$$= \left(\frac{GM_J m}{R^2} \left(1 + \frac{2d}{R} \right) - \frac{GM_J m}{R^3} (R-d) - \frac{Gm^2}{4d^2} \right) \vec{u}_R$$

$$= \left(\frac{GM_J m}{R^2} \left(1 + \frac{2d}{R} + \frac{d}{R} \right) - \frac{Gm^2}{4d^2} \right) \vec{u}_R$$

$$= \left(\frac{GM_J m}{R^2} \left(1 + \frac{3d}{R} \right) - \frac{Gm^2}{4d^2} \right) \vec{u}_R$$

$$\vec{N}_{r1} = \frac{GM_J m}{r^2} \left(\frac{3d}{r} - \frac{4M_J^2}{4d^2} \frac{r^2}{GM_J m} \right) \vec{u}_r$$

soit $\vec{N}_{r1} = \frac{GM_J m}{r^2} \left(\frac{3d}{r} - \frac{m}{4M_J} \left(\frac{r}{d} \right)^2 \right) \vec{u}_r$

soit: $\vec{N}_{r2} = \frac{GM_J m}{r^2} \left(3\varepsilon - \frac{m}{4M_J} \frac{1}{\varepsilon^2} \right) \vec{u}_r$

⑤ Contact rompu: $\vec{N}_{r2} = \vec{0}$

$$3\varepsilon - \frac{m}{4M_J} \frac{1}{\varepsilon^2} = 0 \Rightarrow \varepsilon^3 = \frac{m}{12M_J} = \left(\frac{d}{r_{\text{lim}}} \right)^3$$

$$\Rightarrow r_{\text{lim}} = d \left(\frac{12M_J}{m} \right)^{1/3}$$

$$2m = 2\rho_c \frac{4}{3}\pi d^3 \quad d'ici \quad r_{\text{lim}} = d \left(\frac{12M_J}{\frac{4}{3}\rho_c \pi d^3} \right)^{1/3}$$

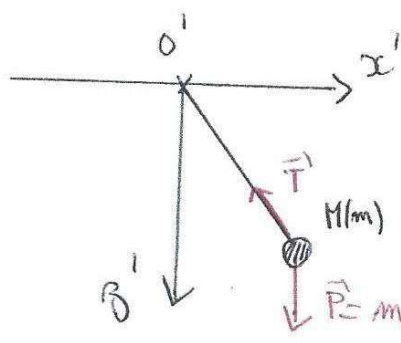
$$\Rightarrow r_{\text{lim}} = \left(\frac{3 \cdot 12M_J}{4\rho_c \pi} \right)^{1/3} = \left(\frac{9M_J}{\rho_c \pi} \right)^{1/3}$$

A.N. $r_{\text{lim}} = 1,76 \cdot 10^5 \text{ km}$

⑥ $r_0 = 1,5 R_J = 1,07 \cdot 10^5 \text{ km} < r_{\text{lim}}$

\Rightarrow les forces de cohésion permettent de s'approcher plus près avant que les forces de marée ne disloquent la comète.

Exercice n°10 un salarié vraiment pointilleux



$$\begin{aligned} \vec{a}_e &= -a_e \vec{e}_3 \text{ en montée} \\ \vec{a}_e &= +a_e \vec{e}_3 \text{ en descente} \end{aligned} \quad (a_e > 0)$$

=0

PFD dans R' : $(e) m \vec{a}^*(H)_{|R'} = \sum \vec{F}_{\text{raies}} + \vec{F}_{ic} + \vec{F}_{ie} = \vec{T} + \vec{P} + \vec{F}_{ic} - m \vec{a}_e$

Ears de la montée:

$$(e): m[l\ddot{\theta} \vec{e}_\theta - l\dot{\theta}^2 \vec{e}_r] = -T \vec{e}_r + m a_e \vec{e}_3 + m g \vec{e}_3$$

$$\xrightarrow{\vec{e}_\theta} \ddot{\theta} = -\frac{(g+a_e)}{l} \sin \theta \Rightarrow \ddot{\theta} + \omega_{om}^2 \theta \approx 0$$

donc période en montée: $T_m = 2\pi \sqrt{\frac{l}{g+a_e}}$ avec $\left| \sin \theta \right| \approx \theta$

$$\Rightarrow T_m = \left(2\pi \sqrt{\frac{l}{g}} \right)^{T_0} \frac{1}{\sqrt{1 + \left(\frac{a_e}{g} \right)^x}}$$

$$\Rightarrow T_m = T_0 \frac{1}{\sqrt{1+x}}$$

Ecas de la descente:

en reprenant la même démarche et en inversant le sens de \vec{a}_e il vient :

$$T_d = T_0 \frac{1}{\sqrt{1-x}}$$

Ecart entre temps mesuré et temps "véritable" :

en montée: $T_m - T_0 = T_0 \left[\frac{1}{\sqrt{1+x}} - 1 \right] < 0$

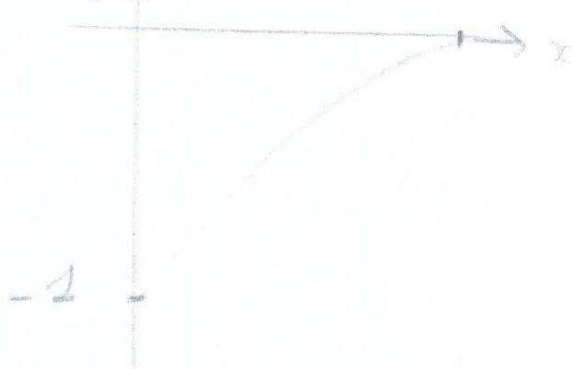
en descente $T_d - T_0 = T_0 \left[\frac{1}{\sqrt{1-x}} - 1 \right] > 0$

Conclusion: $T_m < T_0 \Rightarrow \Delta_m > \Delta_0 \Rightarrow$ *liftier surpayé en montée*
 $T_d > T_0 \Rightarrow \Delta_d < \Delta_0 \Rightarrow$ *sous-payé en descente*

question: compensation montée-descente?

Idee: on peut tracer $f(x) = \frac{T_m - T_0}{T_d - T_0}$ pour $x \in]0; 1[$
(NB: $a_e < g$)

$$\Rightarrow f(x) = \left(\frac{\frac{1}{\sqrt{1+x}} - 1}{\frac{1}{\sqrt{1-x}} - 1} \right)$$



Bilan: $\forall a \in]0; g[$ on a

$$f\left(x = \frac{a}{g}\right) > -1$$

donc le liftier est sous payé puisque la compensation exacte serait $f(x) = -1$

Exercice n°13: Les enfants qui chahutent en voiture

① Par définition: $\vec{a}(O') = \frac{d^2 \vec{x}}{dt^2} = \frac{d^2 x}{dt^2} \vec{e}_x + \frac{d^2 y}{dt^2} \vec{e}_y$
 $= a_y = \frac{d}{dt} v_y$

$v_y = \frac{dy}{dt} = \frac{dy}{dx} \frac{dx}{dt} = f'(x) \dot{x}$ or $v^2 = \dot{x}^2 + \dot{y}^2 = v_0^2$

$\Rightarrow v^2 = \dot{x}^2 + \dot{x}^2 f'^2(x)$

d'où: $v_y = f' \frac{v}{(1+f'^2)^{1/2}}$ $\Rightarrow \dot{x} = \frac{v}{(1+f'^2)^{1/2}}$

On dérive à nouveau pour obtenir a_y :

$a_y = \frac{dv_y}{dt} = \frac{dx}{dt} \frac{dv_y}{dx} = \dot{x} \frac{d}{dx} \left[f' \frac{v}{(1+f'^2)^{1/2}} \right]$

$\Rightarrow a_y = \frac{v}{(1+f'^2)^{1/2}} \times \left[f'' \frac{v}{(1+f'^2)^{1/2}} + f' \frac{v}{(1+f'^2)^{3/2}} 2f'f'' \right]$

$\Rightarrow a_y = \frac{v}{(1+f'^2)^{1/2}} \times \left[\frac{f''(1+f'^2) - f'^2 f''}{(1+f'^2)^{3/2}} \right] \Rightarrow a_y = \frac{f'' v^2}{(1+f'^2)^2}$

2) $\vec{w}_{R'/R} = \vec{0} \Rightarrow R'$ est attachée au chassis et en translation (non rectiligne)
 accélérée car $\vec{a}(O')_{/R} \neq 0$

CSG: A subit ds R' une $f_{ic} = -m \vec{a}(O')_{/R}$

RFD sur $A(m)_{/R'}$: $m \vec{a}_1 = m \vec{g} + \vec{T}_{ress} - m \vec{a}(O')_{/R}$

CSG $\Rightarrow m \ddot{y}_1 = -mg - k(y_1 - l_0) - m \frac{v^2 f''}{(1+f'^2)^2}$

③ Si retour rapide à l'équilibre dans $R' \Rightarrow A$ on déplacement à $v' = l\dot{\theta}$
 donc $a_y = \ddot{y}' = 0$ soit $-mg - k(y_1 - l_0) - \frac{mv'^2 f''}{(1+f'^2)^2} = 0$

$$\vec{T} = -k(y_1 - l_0) \vec{e}_y = \left(mg + \frac{mv'^2 f''}{(1+f'^2)^2} \right) \vec{e}_y$$

$$\Rightarrow \|\vec{T}\| = \left| mg + \frac{mv'^2 f''}{(1+f'^2)^2} \right|$$

Si base: $f'' < 0 \Rightarrow \|\vec{T}\| < mg \Rightarrow$ la tension ne compense pas le poids
 \rightarrow roulement d'extenseur

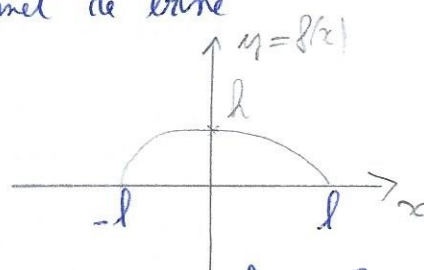
Si creux: $f'' > 0 \Rightarrow \|\vec{T}\| > mg \Rightarrow$ la tension va ramener le pt A' vers le haut \Rightarrow roulement d'extenseur.

④ Idee: choisir la vitesse telle que au sommet de base
 nous ayons $\|\vec{T}\| = 0$

$$\text{ie } mg + \frac{mv^2}{(1+f'^2)^2} f'' = 0$$

$$\Rightarrow g - \frac{v^2}{l^2} \frac{2h}{2} = 0$$

$$\Rightarrow v = l \sqrt{\frac{g}{2h}}$$



$$y(x) = h - ax^2 \quad a = \frac{h}{l^2}$$

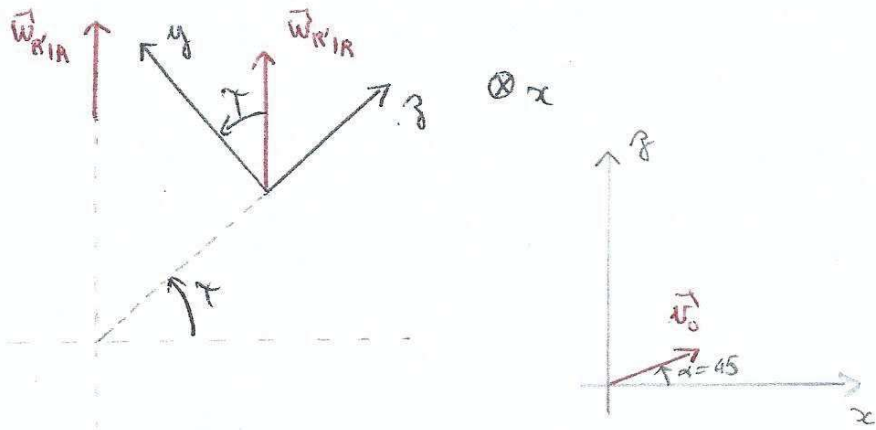
$$f' = -2ax$$

$$f'' = -2a < 0$$

$$\Rightarrow f'' = -\frac{2h}{l^2}$$

vitesse à acquies pour
 annuler la sensation d'impression
 au sommet de la base.

Exercice n°14



$$1) \textcircled{a} \text{ Ref galiléen } \Rightarrow \begin{cases} \vec{F}_{ce} = \vec{0} \\ \vec{F}_{cl} = \vec{0} \end{cases} \Rightarrow \vec{a}(M)_{R_{\text{ter}}} = -g \vec{e}_z \Rightarrow \begin{pmatrix} \ddot{x} \\ \ddot{y} \\ \ddot{z} \end{pmatrix} = \begin{pmatrix} 0 \\ 0 \\ -g \end{pmatrix}$$

$$\rightarrow \dots \rightarrow \begin{cases} x = v_0 \cos \alpha t \\ y = 0 \\ z = -\frac{1}{2} g t^2 + v_0 \sin \alpha t \end{cases}$$

$$\text{Pour } x(t_v) = v_0 \cos \alpha t_v = x_{\text{final}} \Rightarrow t_v = \frac{x_{\text{final}}}{v_0 \cos \alpha} \text{ A.N } t_v = 11,8 \text{ min}$$

$$z(t_v) = 0 \Leftrightarrow -\frac{1}{2} g t_v^2 + v_0 \sin \alpha t_v = 0$$

$$\Leftrightarrow -\frac{1}{2} g \frac{x_{\text{final}}^2}{v_0^2 \cos^2 \alpha} + \frac{v_0 \sin \alpha}{v_0 \cos \alpha} x_{\text{final}} = 0$$

$$\Leftrightarrow v_0 = \left[\frac{g x_{\text{final}}}{2 \cos^2 \alpha \tan \alpha} \right]^{1/2} \text{ A.N } v_0 = 5000 \text{ m.s}^{-2}$$

② On suppose toujours que la pesanteur est relative au référentiel du liège

PFD dans R_{tern} :

$$m \begin{pmatrix} \ddot{x} \\ \ddot{y} \\ \ddot{z} \end{pmatrix} = \begin{pmatrix} 0 \\ 0 \\ -g \end{pmatrix} - 2m\vec{\omega} \begin{pmatrix} 0 \\ \omega\lambda \\ \sin\lambda \end{pmatrix} + \begin{pmatrix} \ddot{x} \\ \ddot{y} \\ \ddot{z} \end{pmatrix} \quad \text{NB: calcul idem ex 5}$$

$$\Rightarrow \begin{cases} \ddot{x} = -2\omega [\omega\lambda \ddot{z} - \sin\lambda \ddot{y}] & (1) \\ \ddot{y} = -2\omega \sin\lambda \ddot{x} & (2) \\ \ddot{z} = -g + 2\omega \omega\lambda \ddot{x} & (3) \end{cases}$$

$$(2) \Rightarrow \ddot{y} = -2\omega \sin\lambda \ddot{x} + \frac{dy}{dt} \quad \text{à } t=0 \quad \begin{cases} \dot{y}(0) = 0 \\ x(0) = 0 \end{cases} \Rightarrow \frac{dy}{dt} = 0$$

$$(3) \Rightarrow \ddot{z} = -g + 2\omega \omega\lambda \ddot{x} + \frac{dz}{dt} \quad \text{à } t=0 \quad \begin{cases} \dot{z}(0) = v_0 \sin\alpha \\ x(0) = 0 \end{cases}$$

donc $\frac{dz}{dt} = v_0 \sin\alpha$

soit (3) $\Rightarrow \ddot{z} = -g + 2\omega \omega\lambda \ddot{x} + v_0 \sin\alpha$

On injecte ces 2 équations dans (1):

$$(1) \Rightarrow \ddot{x} = -2\omega [\omega\lambda (-g + 2\omega \omega\lambda \ddot{x} + v_0 \sin\alpha) + \sin\lambda 2\omega \sin\lambda \ddot{x}]$$

$$(1) \Rightarrow \ddot{x} + 4\omega^2 x = +2\omega \omega\lambda g t - 2\omega v_0 \sin\alpha \omega\lambda$$

② Comme en exercice n°5, $4\omega^2 \ll \ddot{x}$ par hypothèse

$$\Rightarrow \ddot{x}(t) = \omega \omega\lambda g t^2 - 2\omega v_0 \sin\alpha \omega\lambda t + \frac{v_0 \sin\alpha}{\omega\lambda}$$

$$\Rightarrow x(t) = \frac{1}{3} \omega \omega\lambda g t^3 - \omega v_0 \sin\alpha \omega\lambda t^2 + v_0 \omega\lambda t$$

$$\text{donc } \ddot{y} = -2\omega \sin \lambda \left[\frac{1}{3} \omega \cos \lambda g t^3 - \omega v_0 \sin \alpha \cos \lambda t^2 + v_0 \cos \alpha t \right]$$

$$\Rightarrow y(t) = -\frac{1}{6} \omega^2 \sin \lambda \cos \lambda g t^4 + \frac{2}{3} \omega^2 v_0 \sin \lambda \cos \lambda \sin \alpha t^3 - \omega v_0 \sin \lambda \cos \alpha t^2 + v_0 \sin \alpha t$$

(+cte=0)

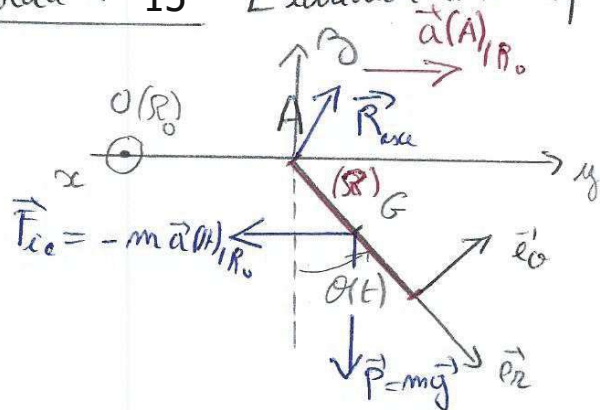
$$\text{et } z(t) = -\frac{1}{2} g t^2 + \frac{1}{6} \omega^2 \cos^2 \lambda g t^4 - \frac{2}{3} \omega^2 v_0 \sin \alpha \cos^2 \lambda t^3 + v_0 \cos \alpha t^2 + v_0 \sin \alpha t$$

Temps de vol corrigé: résolution de $z(t'_v) = 0 \Rightarrow t'_v = 748,2 \text{ s}$

$$\text{Point d'impact pour } t'_v = 748,2 \text{ s : } \begin{cases} x(t'_v) = 2613,95 \text{ km} \\ y(t'_v) = -100,49 \text{ km} \end{cases}$$

Conclusion: le missile frappera la banquette sud-est de Moscou.

Exercice n° 15 Excitation d'un pendule - résonance



$$(J_{Ax} = \frac{1}{3} m l^2)$$

$$(4) \vec{OA} = y_p(t) \cdot \vec{e}_y$$

② R en translation / R0
La barre oscille dans le référentiel R non galiléen

② Bilan des actions \Rightarrow cf schéma

$$\begin{aligned} \textcircled{3} \vec{M}_A(\vec{R}_{\text{wire}}) &= \vec{0} ; \vec{M}_A(\vec{P}=m\vec{g}) = \vec{AG} \wedge m\vec{g} = \frac{l}{2} \vec{e}_2 \wedge (-mg \vec{e}_3) \\ &= \frac{l}{2} (-\cos\theta \vec{e}_3 + \sin\theta \vec{e}_y) \wedge (-mg \vec{e}_3) \\ &= -\frac{mg l}{2} \sin\theta \vec{e}_x \Rightarrow M_{Ax}^{(P)} = -\frac{mg l}{2} \sin\theta \end{aligned}$$

$$\begin{aligned} \text{enfin: } \vec{M}_A(\vec{F}_{ce}) &= \vec{AG} \wedge (-ma \vec{e}_y) = \frac{l}{2} \vec{e}_2 \wedge (-ma \vec{e}_y) \\ &= -ma \frac{l}{2} \cos\theta \vec{e}_x \Rightarrow M_{Ax}^{(F_{ce})} = -\frac{m a l}{2} \cos\theta \end{aligned}$$

$$\textcircled{4} \text{THC}_{/ \Delta_{Ax}} : \boxed{J_{[Ax]} \ddot{\theta} = -\frac{ml}{2} (g \sin\theta + a \cos\theta)} \quad (*)$$

$$\textcircled{5} y_p(t) = Y \cos(\omega t) \Rightarrow a = \ddot{y}_p(t) = -\omega^2 Y \cos(\omega t)$$

$$\begin{aligned} \Delta \text{ RSF donc } \theta(t) &= \theta_0(\omega) \cos(\omega t + \varphi(\omega)) \xrightarrow{\text{cplx}} \theta = \theta_0(\omega) e^{j(\omega t + \varphi)} \\ a &= -\omega^2 Y \cos \omega t \rightarrow \underline{a} = -\omega^2 Y e^{j\omega t} \end{aligned}$$

$$(e) \text{ si petite oscillations } \Rightarrow \begin{cases} \sin\theta \simeq \theta \\ \cos\theta \simeq 1 \end{cases} \quad (\text{ordre 1})$$

$$k) \Rightarrow J_{[Ax]} \ddot{\theta} = -\frac{ml}{2} g \theta(t) - \frac{ml}{2} a \rightarrow J_{[Ax]} \omega^2 \theta = -\frac{ml}{2} g \theta - \frac{ml}{2} \omega^2 Y$$

$$\Rightarrow \left(\frac{ml}{2} g - J_{[Ax]} \omega^2 \right) \underline{\theta} = \frac{ml}{2} \omega^2 \underline{y}$$

$$\Rightarrow \left(\frac{ml}{2} g - J_{[Ax]} \omega^2 \right) \theta_0 e^{j(\omega t + \varphi)} = \frac{ml}{2} \omega^2 y e^{j\omega t}$$

relation sur les modules: $|\theta| = \theta_0 = \frac{\frac{ml}{2} \omega^2 y}{\frac{ml}{2} g - J_{[Ax]} \omega^2} y$

$$= \frac{\omega^2}{g \left(1 - \frac{J_{[Ax]} \omega^2}{\frac{ml}{2} g} \right)} y$$

soit

$$\theta_0 = \frac{\omega^2}{1 - \frac{J_{[Ax]} \omega^2}{\frac{ml}{2} g}} \frac{y}{g}$$

La résonance d'oscillation se produit pour $\theta_0 \nearrow \infty$ soit $\frac{J_{[Ax]} \omega_0^2}{\frac{ml}{2} g} = 1$

$$\Rightarrow \omega_0 = \sqrt{\frac{mlg}{2J_{[Ax]}}} = \sqrt{\frac{3mg}{2ml^2}} = \sqrt{\frac{3}{2}} \left(\sqrt{\frac{g}{l}} \right) [\dots] = T^{-1}(\text{rad})$$